

(19)日本国特許庁(JP)

## (12)特許公報(B2)

(11)特許番号  
特許第7420147号  
(P7420147)

(45)発行日 令和6年1月23日(2024.1.23)

(24)登録日 令和6年1月15日(2024.1.15)

(51)国際特許分類		F I			
G 0 9 C	1/00 (2006.01)	G 0 9 C	1/00	6 5 0 Z	
H 0 4 L	9/32 (2006.01)	H 0 4 L	9/32	2 0 0 Z	

請求項の数 5 (全26頁)

(21)出願番号	特願2021-561063(P2021-561063)	(73)特許権者	000004237 日本電気株式会社 東京都港区芝五丁目7番1号
(86)(22)出願日	令和1年11月28日(2019.11.28)	(74)代理人	100080816 弁理士 加藤 朝道
(86)国際出願番号	PCT/JP2019/046509	(74)代理人	100098648 弁理士 内田 潔人
(87)国際公開番号	WO2021/106133	(72)発明者	土田 光 東京都港区芝五丁目7番1号 日本電気株式会社内
(87)国際公開日	令和3年6月3日(2021.6.3)	審査官	青木 重徳
審査請求日	令和4年5月27日(2022.5.27)		

最終頁に続く

(54)【発明の名称】 シャッフルシステム、シャッフル方法及びプログラム

## (57)【特許請求の範囲】

## 【請求項1】

相互にネットワークで接続された4台の秘密計算ノードを備え、前記4台の秘密計算ノードに秘密分散されたシェアをシャッフルするシャッフルシステムであって、  
前記4台の秘密計算ノードのうち1台の秘密計算ノードを受信ノード、2台の秘密計算ノードを再分散ノード、残る1台の秘密計算ノードを検証ノードとするラウンドを、前記4台の秘密計算ノードで共有された選定順序に従って前記4台の秘密計算ノードの中から前記受信ノード、再分散ノードおよび検証ノードを選定し、

前記再分散ノードが前記受信ノードの知らない置換を用いてそれぞれが保持するシェアを再分散するミニシャッフルを実施し、前記ミニシャッフルの結果を前記受信ノードに送信し、

前記検証ノードが、前記受信ノードの知らない置換を用いて生成した、前記再分散ノードのミニシャッフルの結果を検証するデータを前記受信ノードに送信し、  
前記受信ノードは、前記検証ノードから受信したデータを用いた前記ミニシャッフルの正当性を確認した結果、前記ミニシャッフルの正当性を確認できない場合、処理を中止し、正当性を確認できた場合は前記ラウンドを終了して次のラウンドへ進み、  
前記ラウンドを、前記4台の秘密計算ノードが少なくとも1回以上受信ノードとなるよう繰り返すことで、

前記シェアのシャッフルを行うシャッフルシステム。

## 【請求項2】

10

20

前記 4 台の秘密計算ノードは、

3つのシード (  $seed 1$  ,  $seed 2$  ,  $seed 4$  ) と秘密情報  $x$  のシェア (  $x 1$  ,  $x 2$  ) とを秘密分散して保持する第 1 の秘密計算ノードと、

3つのシード (  $seed 2$  ,  $seed 3$  ,  $seed 4$  ) と秘密情報  $x$  のシェア (  $x 2$  ,  $x 3$  ) とを秘密分散して保持する第 2 の秘密計算ノードと、

3つのシード (  $seed 3$  ,  $seed 1$  ,  $seed 4$  ) と秘密情報  $x$  のシェア (  $x 3$  ,  $x 1$  ) とを秘密分散して保持する第 3 の秘密計算ノードと、

3つのシード (  $seed 1$  ,  $seed 2$  ,  $seed 3$  ) と秘密情報  $x$  のシェア (  $x 1 - x 2$  ,  $x 2 - x 3$  ) とを秘密分散して保持する第 4 の秘密計算ノードと、により構成され、

前記再分散ノード及び前記検証ノードは、前記受信ノードの知らないシードを用いて、2つの乱数を生成し、

前記再分散ノードは、前記ミニシャッフルの結果として、前記シェアに前記乱数の組み合わせを適用した結果を前記受信ノードに送信し、

前記検証ノードは、前記 2 台の再分散ノードが前記受信ノードに送信した結果の和又は差を計算して、前記受信ノードに送信する、

請求項 1 のシャッフルシステム。

【請求項 3】

前記第 4 の秘密計算ノードを受信ノードとするラウンドと、第 1 の秘密計算ノードを受信ノードとするラウンドと、を並列に実行し、

前記第 2 の秘密計算ノードを受信ノードとするラウンドと、第 3 の秘密計算ノードを受信ノードとするラウンドと、を並列に実行する、

請求項 2 のシャッフルシステム。

【請求項 4】

相互にネットワークで接続された 4 台の秘密計算ノードを用いて、前記 4 台の秘密計算ノードに秘密分散されたシェアをシャッフルするシャッフル方法であって、

前記 4 台の秘密計算ノードのうちの 1 台の秘密計算ノードを受信ノード、2 台の秘密計算ノードを再分散ノード、残る 1 台の秘密計算ノードを検証ノードとするラウンドを、前記 4 台の秘密計算ノードで共有された選定順序に従って前記 4 台の秘密計算ノードの中から前記受信ノード、再分散ノードおよび検証ノードを選定し、

前記再分散ノードが前記受信ノードの知らない置換を用いてそれぞれが保持するシェアを再分散するミニシャッフルを実施し、前記ミニシャッフルの結果を前記受信ノードに送信し、

前記検証ノードが、前記受信ノードの知らない置換を用いて生成した、前記再分散ノードのミニシャッフルの結果を検証するデータを前記受信ノードに送信し、

前記受信ノードは、前記検証ノードから受信したデータを用いた前記ミニシャッフルの正当性を確認した結果、前記ミニシャッフルの正当性を確認できない場合、処理を中止し、正当性を確認できた場合は前記ラウンドを終了して次のラウンドへ進み、

前記ラウンドを、前記 4 台の秘密計算ノードが少なくとも 1 回以上受信ノードとなるよう繰り返すことで、

前記シェアのシャッフルを行うシャッフル方法。

【請求項 5】

相互にネットワークで接続された 4 台の秘密計算ノードに、前記 4 台の秘密計算ノードに秘密分散されたシェアをシャッフルする処理を行わせるシャッフルプログラムであって、

前記 4 台の秘密計算ノードのうちの 1 台の秘密計算ノードを受信ノード、2 台の秘密計算ノードを再分散ノード、残る 1 台の秘密計算ノードを検証ノードとするラウンドを、前記 4 台の秘密計算ノードで共有された選定順序に従って前記 4 台の秘密計算ノードの中から前記受信ノード、再分散ノードおよび検証ノードを選定する処理と、

前記再分散ノードが前記受信ノードの知らない置換を用いてそれぞれが保持するシェアを再分散するミニシャッフルを実施し、前記ミニシャッフルの結果を前記受信ノードに送信する処理と、

10

20

30

40

50

前記検証ノードが、前記受信ノードの知らない置換を用いて生成した、前記再分散ノードのミニシャッフルの結果を検証するデータを前記受信ノードに送信する処理と、  
 前記受信ノードが、前記検証ノードから受信したデータを用いた前記ミニシャッフルの正当性を確認した結果、前記ミニシャッフルの正当性を確認できない場合、処理を中止し、  
 正当性を確認できた場合は前記ラウンドを終了して次のラウンドへ進む処理と、  
 前記ラウンドを、前記4台の秘密計算ノードが少なくとも1回以上受信ノードとなるよう繰り返す処理とを、  
 含むシャッフルプログラム。

【発明の詳細な説明】

【技術分野】

10

【0001】

本発明は、シャッフルシステム、シャッフル方法及びプログラムに関する。

【背景技術】

【0002】

特許文献1に、秘密ランダム置換が含まれる秘密計算を高速に行うことができるという秘密計算方法が開示されている。また、秘密計算によるアプリケーションとして、データやクエリを秘匿したデータベース処理が挙げられる。また、この秘密計算上のデータベース演算を実現する際に、重要なサブプロトコルの一つとして、ソートプロトコルが挙げられる。特許文献2には、比較に基づかないソーティングアルゴリズムが開示されている。

【0003】

20

上記ソートプロトコルの実現方法はいくつが存在し、代表的なものとして以下の2つが挙げられる。

- ・ソーティングネットワークによる方式
- ・シャッフル(ランダム置換)を用いる方式

【0004】

コストが小さいのはシャッフルを用いる方式であり、特許文献1、2もこの方式を採用している。シャッフル(ランダム置換)を用いる方式の代表的なものとしては、以下の2つが挙げられる。

- ・3者の(環上の)複製型秘密分散を用いるセミオネスト安全な方式(非特許文献1参照)
- ・N者の(体上の)加法型秘密分散を用いるセミオネスト安全/マリシャス安全な方式(非特許文献2参照)

30

【先行技術文献】

【特許文献】

【0005】

【文献】国際公開第2015/107952号

【文献】特開2012-154990号公報

【非特許文献】

【0006】

【文献】五十嵐大, et al., “超高速秘密計算ソートの設計と実装: 秘密計算がスクリプト言語に並ぶ日”, コンピュータセキュリティシンポジウム2017、論文集 2017.2(2017)

40

【文献】Sven Laur, Jan Willems, and Bingsheng Zhang, “Round-efficient oblivious database manipulation”, International Conference on Information Security, Springer, Berlin, Heidelberg, 2011, [令和元(2019)年11月1日検索]、インターネット URL: <https://eprint.iacr.org/2011/429.pdf>

【発明の概要】

【発明が解決しようとする課題】

【0007】

以下の分析は、本発明者によって与えられたものである。上記した非特許文献2の方式は、コミットメントとゼロ知識証明を用いて、確率的に不正を検知することが可能となっ

50

ている。しかしながら、非特許文献2の方式をもってしても、決定的に不正を検知可能な方式とはなっていない。

【0008】

本発明は、決定的に不正を検知可能なシャッフルシステム、シャッフル方法及びプログラムを提供することを目的とする。

【課題を解決するための手段】

【0009】

第1の視点によれば、4台の秘密計算ノードのうち1台の秘密計算ノードを受信ノードに選定し、前記4台の秘密計算ノードのうち残る3台の秘密計算ノードのうち、2台の秘密計算ノードが再分散ノードとして、残る1台の秘密計算ノードが検証ノードとして動作し、前記再分散ノードが前記受信ノードの知らない置換を用いてそれぞれが保持するシェアを再分散するミニシャッフルを実施し、前記ミニシャッフルの結果を前記受信ノードに送信し、前記検証ノードが、前記受信ノードの知らない置換を用いて生成した、前記再分散ノードのミニシャッフルの結果を検証するデータを前記受信ノードに送信することを1ラウンドとする。このラウンドを、前記4台の秘密計算ノードが少なくとも1回以上受信ノードとなるよう繰り返すことで、シェアのシャッフルを行うシャッフルシステムが提供される。

10

【0010】

第2の視点によれば、4台の秘密計算ノードのうち1台の秘密計算ノードを受信ノードに選定し、前記4台の秘密計算ノードのうち残る3台の秘密計算ノードのうち、2台の秘密計算ノードが再分散ノードとして、残る1台の秘密計算ノードが検証ノードとして動作するシャッフル方法が提供される。このシャッフル方法は、前記再分散ノードが前記受信ノードの知らない置換を用いてそれぞれが保持するシェアを再分散するミニシャッフルを実施し、前記ミニシャッフルの結果を前記受信ノードに送信し、前記検証ノードが、前記受信ノードの知らない置換を用いて生成した、前記再分散ノードのミニシャッフルの結果を検証するデータを前記受信ノードに送信するラウンドを、前記4台の秘密計算ノードが少なくとも1回以上受信ノードとなるよう繰り返すことで、前記シェアのシャッフルを行う。本方法は、4台の秘密計算ノードの構成する秘密計算ノードという、特定の機械に結びつけられている。

20

【0011】

第3の視点によれば、上記した秘密計算ノードの機能を実現するための(コンピュータ)プログラムが提供される。このプログラムは、コンピュータ装置に入力装置又は外部から通信インターフェースを介して入力され、記憶装置に記憶されて、プロセッサを所定のステップないし処理に従って駆動させ、必要に応じ中間状態を含めその処理結果を段階毎に表示装置を介して表示することができ、あるいは通信インターフェースを介して、外部と交信することができる。そのためのコンピュータ装置は、一例として、典型的には互いにバスによって接続可能なプロセッサ、記憶装置、入力装置、通信インターフェース、及び必要に応じ表示装置を備える。また、このプログラムは、コンピュータが読み取り可能な(非トランジトリーな)記憶媒体に記録することができる。

30

【発明の効果】

40

【0012】

本発明によれば、決定的に不正を検知可能なシャッフルシステム、シャッフル方法及びプログラムが提供される。

【図面の簡単な説明】

【0013】

【図1】本発明の一実施形態の構成を示す図である。

【図2】本発明の一実施形態の動作を説明するための図である。

【図3】本発明の一実施形態の動作を説明するための図である。

【図4】本発明の第1の実施形態のシャッフルシステムの構成を示す図である。

【図5】本発明の第1の実施形態の秘密計算サーバの構成を示す図である。

50

【図6】本発明の第1の実施形態のミニシャッフルの実行順序の一例を示す図である。  
【図7】本発明の第1の実施形態のラウンド( $i = 1$ )の動作を説明するための図である。  
【図8】本発明の第1の実施形態のラウンド( $i = 2$ )の動作を説明するための図である。  
【図9】本発明の第1の実施形態のラウンド( $i = 3$ )の動作を説明するための図である。  
【図10】本発明の第1の実施形態のラウンド( $i = 4$ )の動作を説明するための図である。  
【図11】本発明の第2の実施形態のラウンド( $i = 1, 2$ )の動作を説明するための図である。  
【図12】本発明の第2の実施形態のラウンド( $i = 3, 4$ )の動作を説明するための図である。  
【図13】本発明の第3の実施形態のラウンド( $i = 1$ )の動作を説明するための図である。  
【図14】本発明の第3の実施形態のラウンド( $i = 2$ )の動作を説明するための図である。  
【図15】本発明の第3の実施形態のラウンド( $i = 3$ )の動作を説明するための図である。  
【図16】本発明の第3の実施形態のラウンド( $i = 4$ )の動作を説明するための図である。  
【図17】本発明の秘密計算サーバを構成するコンピュータの構成を示す図である。

【発明を実施するための形態】

【0014】

はじめに本発明の一実施形態の概要について図面を参照して説明する。なお、この概要に付記した図面参照符号は、理解を助けるための一例として各要素に便宜上付記したものであり、本発明を図示の態様に限定することを意図するものではない。また、以降の説明で参照する図面等のブロック間の接続線は、双方向及び単方向の双方を含む。一方矢印については、主たる信号(データ)の流れを模式的に示すものであり、双方向性を排除するものではない。プログラムはコンピュータ装置を介して実行され、コンピュータ装置は、例えば、プロセッサ、記憶装置、入力装置、通信インターフェース、及び必要に応じ表示装置を備える。また、このコンピュータ装置は、通信インターフェースを介して装置内又は外部の機器(コンピュータを含む)と、有線、無線を問わず、通信可能に構成される。また、図中の各ブロックの入出力の接続点には、ポート乃至インターフェースがあるが図示を省略する。また、以下の説明において、「A及び/又はB」は、A又はB、若しくは、A及びBという意味で用いる。

【0015】

本発明は、その一実施形態において、図1に示すように、4台の秘密計算ノード10-1~10-4にて構成されたシャッフルシステムにて実現できる。より具体的には、4台の秘密計算ノード10-1~10-4のうち1台の秘密計算ノードを受信ノードに選定し、残る3台の秘密計算ノードのうち、2台の秘密計算ノードが再分散ノードとして、残る1台の秘密計算ノードが検証ノードとして動作する。

【0016】

例えば、図2に示すように、秘密計算ノード10-4を受信ノード(R)に選定したものとす。このとき、秘密計算ノード10-1、10-2が再分散ノード(RS1)、(RS2)、秘密計算ノード10-3が検証ノード(V)として動作することができる。

【0017】

再分散ノード(RS1)として動作する秘密計算ノード10-1、10-2が、受信ノードである秘密計算ノード10-4の知らない置換を用いてそれぞれが保持するシェアを再分散するミニシャッフルを実施する。そして、秘密計算ノード10-1、10-2は、受信ノードである秘密計算ノード10-4に対し、前記ミニシャッフルの結果M1、M2を送信する。一方、検証ノード(V)として動作する秘密計算ノード10-3は、受信ノードである秘密計算ノード10-4の知らない置換を用いて、秘密計算ノード10-1、

10

20

30

40

50

10 - 2のミニシャッフルの結果M1、M2を検証するデータVを計算する。そして、秘密計算ノード10 - 3は、秘密計算ノード10 - 4に対し、秘密計算ノード10 - 1、10 - 2のミニシャッフルの結果M1、M2を検証するデータVを送信する。そして、秘密計算ノード10 - 4は、ミニシャッフルの結果M1、M2を検証するデータVを用いて、秘密計算ノード10 - 1、10 - 2によるミニシャッフルが正しく行われているか否か进行检查する。

【0018】

以上の各手順を1ラウンドとする。図3は、秘密計算ノード10 - 1を受信ノード(R)に選定し、秘密計算ノード10 - 2、10 - 3が再分散ノード(RS1)、(RS2)、秘密計算ノード10 - 4が検証ノード(V)として動作するラウンドを示している。この場合も同様に、秘密計算ノード10 - 2、10 - 3がミニシャッフルを行い、秘密計算ノード10 - 1に対し、ミニシャッフルの結果M1、M2を送信する。秘密計算ノード10 - 4は、秘密計算ノード10 - 1に対し、ミニシャッフルの結果M1、M2を検証するデータVを送信する。そして、秘密計算ノード10 - 1が、前記データVを用いて、秘密計算ノード10 - 2、10 - 3によるミニシャッフルが正しく行われているか否か进行检查する。

【0019】

以上のようにして、各秘密計算ノードが少なくとも1回以上受信ノードとなるよう繰り返すことで、シェアのシャッフルを行うことができる。さらに、前述のように各ラウンドで、受信ノード(R)が、検証ノード(V)にて作成されたデータを用いて、ミニシャッフルが正しく行われているか否か进行检查するため、決定的に不正を検知することが可能となる。

【0020】

[第1の実施形態]

続いて、本発明の第1の実施形態について図面を参照して詳細に説明する。図4は、本発明の第1の実施形態のシャッフルシステムの構成を示す図である。図4を参照すると、上述した秘密計算ノードとして機能する4台の秘密計算サーバP<sub>1</sub>~P<sub>4</sub>が相互に接続された構成が示されている。以下、秘密計算サーバを特に指定しない場合、秘密計算サーバP<sub>i</sub>とも記す。

【0021】

ここで、以下の説明で用いる表記について定義する。なお、finite ringは、有限環、pseudorandom functionは疑似乱数関数を表す。また、S<sub>m</sub>は、m個の要素に対する置換の集合を表し、 $\pi$ は、S<sub>m</sub>に属する任意の置換である。[ $\pi$ ]<sub>i</sub>は、S<sub>m</sub>に属するm個の要素の置換セットのうち、P<sub>i</sub>、P<sub>i+1</sub>、P<sub>i+2</sub>のみが知る置換を表す。

【0022】

【数1】

The *i*-th party:  $P_i$  ( $i = 1, 2, 3, 4$ )

Security parameter:  $\kappa$

The *i*-th seed:  $seed_i \in \{0, 1\}^\kappa$

A finite ring:  $\mathbb{R}$  s. t.  $|\mathbb{R}|$  is  $k$ -bits and its order is  $R$ .

A pseudorandom function:  $H: \{0, 1\}^\kappa \times \{0, 1\}^\kappa \rightarrow \{0, 1\}^k$

The vector of shares:  $[\vec{x}]^m = ([x_1], \dots, [x_m])$

All permutations of a set with  $m$  elements:  $S_m$

A permutation of a set with  $m$  elements:  $\pi \in S_m$

Only  $P_i, P_{i+1}$  and  $P_{i+2}$  know a permutation  $\pi$ :  $[\pi]_i$

10

20

30

40

50

以降、任意の要素  $x$  のベクトルについては、上記  $x$  に上付きの矢線の表記のほか、 $[vec\{x\}]$  とも記す。例えば、上記 [数 1] 中のシェア  $x$  の  $m$  次元のベクトルは、 $[vec\{x\}]^m$  とも表記する。

#### 【0023】

図 5 は、本発明の第 1 の実施形態の秘密計算サーバの構成を示す図である。図 5 を参照すると、置換生成部 101 と、置換適用部 102 と、算術演算部 103 と、不正検知部 104 と、乱数計算部 105 と、ハッシュ値計算部 106 と、シード記憶部 107 と、シェア値記憶部 108 とを備えた構成が示されている。

#### 【0024】

置換生成部 101 は、他の秘密計算サーバ  $P_i$  と連携して、 $P_i$ 、 $P_{i+1}$ 、 $P_{i+2}$  のみが知る置換  $[ ]_i$  を生成する。例えば、秘密計算サーバ  $P_1$  は  $[ ]_1$ 、 $[ ]_3$ 、 $[ ]_4$  を保持するが、 $[ ]_2$  に関する情報は保持しないことになる。

10

#### 【0025】

置換適用部 102 は、上記シェア  $x$  の  $m$  次元ベクトル  $[vec\{x\}]^m$  と、置換  $[ ]_i$  を入力として、 $[vec\{x\}]^m$  を置換した  $[vec\{y\}]^m$  を出力する。置換適用部 102 の具体的な処理の例は、後に、本実施形態の動作とともに説明する。

#### 【0026】

算術演算部 103 は、 $x$  のシェアの  $m$  次元ベクトル  $[vec\{x\}]^m$  と、乱数計算部 105 で計算された乱数との計算等を行う。算術演算部 103 の具体的な処理の例は、後に、本実施形態の動作とともに説明する。

20

#### 【0027】

不正検知部 104 は、受信ノードとして動作する際に、検証ノードから送られた検証用データを用いて、他の秘密計算サーバで置換が正しく行われているか否かを検知する。他の秘密計算サーバで置換が正しく行われていないと判定した場合、不正検知部 104 は、処理の中止を決定する。

#### 【0028】

乱数計算部 105 は、シード記憶部 107 に保持されているシードを用いて、2 つの乱数を生成し、ハッシュ値計算部 106 に送る。

#### 【0029】

ハッシュ値計算部 106 は、乱数計算部 105 にて計算された乱数のハッシュ値を計算する。本実施形態では、このハッシュ値を乱数として使用する。

30

#### 【0030】

シード記憶部 107 は、上記した乱数を生成するためのシードを記憶する。本実施形態では、事前に、秘密計算サーバ  $P_1 \sim P_4$  に、以下のようにシードが配布されているものとする。

$P_1 : (seed_1, seed_2, seed_4)$

$P_2 : (seed_2, seed_3, seed_4)$

$P_3 : (seed_3, seed_1, seed_4)$

$P_4 : (seed_1, seed_2, seed_3)$

#### 【0031】

シェア値記憶部 108 は、置換の対象となるシェアの  $m$  次元ベクトルを記憶する。以下の説明では、各秘密計算サーバ  $P_1 \sim P_4$  は、以下に示すように、2 - o u t - o f - 4 の秘密分散方式で  $x$  のシェアを分散保持するものとして説明する。ここで  $x$  は、有限環  $R$  の元であり、 $x_1, x_2, x_3$  は、 $x_1 + x_2 + x_3$  が  $x \pmod{R}$  を満たすようにランダムに生成される。以下、 $x$  のシェアを  $[x]$  と表記し、秘密計算サーバ  $P_i$  が保持するシェアを  $[x]_i$  と表記する。

$P_1 : [x]_1 = (x_1, x_2)$

$P_2 : [x]_2 = (x_2, x_3)$

$P_3 : [x]_3 = (x_3, x_1)$

$P_4 : [x]_4 = (x_1 - x_2, x_2 - x_3)$

40

50

## 【 0 0 3 2 】

続いて、本実施形態の動作について図面を参照して詳細に説明する。本実施形態では、秘密計算サーバ  $P_1 \sim P_4$  のうちの 1 台が受信ノード、2 台が再分散ノード、1 台が検証ノードとして動作してミニシャッフルを行うラウンドを少なくとも 4 回繰り返すことで、 $x$  のシェアの  $m$  次元ベクトル  $[vec\{x\}]^m$  のシャッフルを行う。すべてのラウンドで、不正検知部 104 が不正を検出できなかった場合、シャッフル成功となり、いずれかのラウンドで、不正検知部 104 が不正を検出した場合、処理を中止する。

## 【 0 0 3 3 】

図 6 は、本発明の第 1 の実施形態のミニシャッフルの実行順序の一例を示す図である。図 6 を参照すると、まず、 $i = 1$  として、 $P_{i+3}$  である  $P_4$  が受信ノードとなる。そして、 $P_i$ 、 $P_{i+1}$ 、 $P_{i+2}$  にあたる  $P_1 \sim P_3$  が再分散ノード及び検証ノードとしてミニシャッフルを行う。以下、同様に、 $i$  をインクリメントしていき、 $i = 4$  のラウンドを実行することでシャッフルが完了する。

10

## 【 0 0 3 4 】

続いて、各ラウンドにおいて行われる処理の詳細を順番に説明する。

[ ラウンド 1  $i = 1$  ]

図 7 は、ラウンド ( $i = 1$ ) の動作を説明するための図である。ラウンド 1 においては、秘密計算サーバ  $P_4$  が受信ノードとなる。また、秘密計算サーバ  $P_1$ 、 $P_2$  が再分散ノード、秘密計算サーバ  $P_3$  が検証ノードとなる。ラウンド 1 におけるミニシャッフルを次式 [ 数 2 ] のように表すものとする。

20

## 【 0 0 3 5 】

## 【 数 2 】

$$[y]^m \leftarrow \text{MiniShuffle}(1, [x]^m, [\pi_1]_1)$$

右辺の  $[vec\{x\}]^m$  は、シェア  $x$  を秘密分散した  $m$  次元のベクトルであり、 $[x_1], \dots, [x_m]$  のように表される。実際には、前述のように、 $x_j$  は、 $x_j = x_{j,1} + x_{j,2} + x_{j,3}$  ( $j = 1, \dots, m$ ) を満たす形で、秘密計算サーバ  $P_i$  に秘密分散される。右辺の  $[\ ]_1$  は、秘密計算サーバ  $P_1$ 、 $P_2$ 、 $P_3$  のみが知る置換  $[\ ]_i$  である。

## 【 0 0 3 6 】

30

以上の右辺の内容を入力とする出力  $[vec\{y\}]^m$  は、置換  $[\ ]_1$  を用いたミニシャッフルを 1 回行った結果であり、 $[y_{-1}(1)], \dots, [y_{-1}(m)]$  のように表される。この出力中の  $y_{-1}(j)$  も、前述のように、 $y_{-1}(j) = y_{-1}(j), 1 + y_{-1}(j), 2 + y_{-1}(j), 3$  ( $j = 1, \dots, m$ ) を満たす形で、秘密計算サーバ  $P_i$  に分散保持される。

## 【 0 0 3 7 】

次式 [ 数 3 ] に上記したミニシャッフルの手順を示す。

## 【 0 0 3 8 】

## 【 数 3 】

40

1.  $P_1, P_2$  and  $P_3$  generate the random values  $r_{j,1}$  and  $r_{j,2}$ .

$$r_{j,1} = H(\text{vid}_1 || 1 || j, \text{seed}_4)$$

$$r_{j,2} = H(\text{vid}_1 || 2 || j, \text{seed}_4)$$

2. We set  $y_{\pi_1(j)} = y_{\pi_1(j),1} + y_{\pi_1(j),2} + y_{\pi_1(j),3}$ .

2-1.  $P_1$  computes  $y_{\pi_1(j),1}$  and  $y_{\pi_1(j),2}$  as follows.

$$y_{\pi_1(j),1} = x_{\pi_1(j),1} - r_{j,1}$$

$$y_{\pi_1(j),2} = x_{\pi_1(j),2} + r_{j,1} + r_{j,2}$$

2-2.  $P_2$  computes  $y_{\pi_1(j),2}$  and  $y_{\pi_1(j),3}$  as follows.

$$y_{\pi_1(j),2} = x_{\pi_1(j),2} + r_{j,1} + r_{j,2}$$

$$y_{\pi_1(j),3} = x_{\pi_1(j),3} - r_{j,2}$$

2-3.  $P_3$  computes  $y_{\pi_1(j),3}$  and  $y_{\pi_1(j),1}$  as follows.

$$y_{\pi_1(j),3} = x_{\pi_1(j),3} - r_{j,2}$$

$$y_{\pi_1(j),1} = x_{\pi_1(j),1} - r_{j,1}$$

3.  $P_1$  sends  $\vec{m}_{1,1} = \vec{y}_1 - \vec{y}_2$  to  $P_4$ .

$P_2$  sends  $\vec{m}_{2,2} = \vec{y}_2 - \vec{y}_3$  to  $P_4$ .

$P_3$  sends  $\vec{m}_3 = \vec{y}_1 - \vec{y}_3$  to  $P_4$ .

$$\vec{y}_i = (y_{\pi_1(1),i}, \dots, y_{\pi_1(m),i})$$

4.  $P_4$  checks whether  $\vec{m}_3 = \vec{m}_{1,1} + \vec{m}_{2,2}$  or not.

If it holds, then  $P_4$  outputs *continue*.

If it does not hold, then  $P_4$  outputs *abort*.

10

20

【 0 0 3 9 】

(ステップ 1 - 1) まず、秘密計算サーバ  $P_1$ 、 $P_2$ 、 $P_3$  は、受信ノードである秘密計算サーバ  $P_4$  が知らないシード  $\text{seed}_4$  を用いて、2つの乱数  $r_{j,1}$ 、 $r_{j,2}$  を生成する。

【 0 0 4 0 】

(ステップ 1 - 2 - 1 ~ 1 - 2 - 3) 次に、秘密計算サーバ  $P_1$ 、 $P_2$ 、 $P_3$  は、互いに連携して、乱数  $r_{j,1}$ 、 $r_{j,2}$  を用いて、 $y_{\pi_1(j)} = y_{\pi_1(j),1} + y_{\pi_1(j),2} + y_{\pi_1(j),3}$  を満たすような  $y_{\pi_1(j),1}$ 、 $y_{\pi_1(j),2}$ 、 $y_{\pi_1(j),3}$  をそれぞれ計算する。具体的には、 $y_{\pi_1(j),1}$ 、 $y_{\pi_1(j),2}$ 、 $y_{\pi_1(j),3}$  は、以下のように計算される。

$$y_{\pi_1(j),1} = x_{\pi_1(j),1} - r_{j,1}$$

$$y_{\pi_1(j),2} = x_{\pi_1(j),2} + r_{j,1} + r_{j,2}$$

$$y_{\pi_1(j),3} = x_{\pi_1(j),3} - r_{j,2}$$

【 0 0 4 1 】

(ステップ 1 - 3) 次に、秘密計算サーバ  $P_1$ 、 $P_2$ 、 $P_3$  は、受信ノードである秘密計算サーバ  $P_4$  に対し、計算結果を送信する。具体的には、秘密計算サーバ  $P_1$  は、秘密計算サーバ  $P_4$  に対し、 $\text{vec}\{y_1\} - \text{vec}\{y_2\}$  を  $\text{vec}\{m_{1,1}\}$  として送信する。秘密計算サーバ  $P_2$  は、秘密計算サーバ  $P_4$  に対し、 $\text{vec}\{y_2\} - \text{vec}\{y_3\}$  を  $\text{vec}\{m_{2,2}\}$  として送信する。さらに、秘密計算サーバ  $P_3$  は、秘密計算サーバ  $P_4$  に対し、検証データとして、 $\text{vec}\{y_1\} - \text{vec}\{y_3\}$  を  $\text{vec}\{m_3\}$  として送信する。なお、[数 3] に表したとおり、 $\text{vec}\{y_i\}$  は、 $([y_{\pi_1(1),i}], \dots, [y_{\pi_1(m),i}])$  のような  $m$  次元のベクトルである。

30

40

【 0 0 4 2 】

(ステップ 1 - 4) 次に、秘密計算サーバ  $P_4$  は、 $\text{vec}\{m_3\} = \text{vec}\{m_{1,1}\} + \text{vec}\{m_{2,2}\}$  が成り立つか否かにより、不正検知を行う。 $\text{vec}\{m_3\} = \text{vec}\{m_{1,1}\} + \text{vec}\{m_{2,2}\}$  が成り立つ場合、正しくミニシャッフルが行われたと判定し、秘密計算サーバ  $P_4$  は、次のラウンドに進む。一方、 $\text{vec}\{m_3\} = \text{vec}\{m_{1,1}\} + \text{vec}\{m_{2,2}\}$  が成り立たない場合、秘密計算サーバ  $P_4$  は、不正なシャッフルが行われたと判定し、以降の処理を中断する。

【 0 0 4 3 】

50

以上のミニシャッフルの結果、秘密計算サーバ  $P_1 \sim P_4$  は、次式 [ 数 4 ] のように、ミニシャッフル後の  $m$  次元ベクトルを保持することになる。

【 0 0 4 4 】

【 数 4 】

$$\begin{aligned}
 P_1: (\overline{y_1}, \overline{y_2}) &= \left( (y_{\pi_1(1),1}, y_{\pi_1(1),2}), \dots, (y_{\pi_1(m),1}, y_{\pi_1(m),2}) \right) = \left( [y_{\pi_1(1)}]_1, \dots, [y_{\pi_1(m)}]_1 \right) \\
 P_2: (\overline{y_2}, \overline{y_3}) &= \left( (y_{\pi_1(1),2}, y_{\pi_1(1),3}), \dots, (y_{\pi_1(m),2}, y_{\pi_1(m),3}) \right) = \left( [y_{\pi_1(1)}]_2, \dots, [y_{\pi_1(m)}]_2 \right) \\
 P_3: (\overline{y_3}, \overline{y_1}) &= \left( (y_{\pi_1(1),3}, y_{\pi_1(1),1}), \dots, (y_{\pi_1(m),3}, y_{\pi_1(m),1}) \right) = \left( [y_{\pi_1(1)}]_3, \dots, [y_{\pi_1(m)}]_3 \right) \\
 P_4: (\overline{m_{1,1}}, \overline{m_{2,2}}) & \\
 &= (\overline{y_1} - \overline{y_2}, \overline{y_2} - \overline{y_3}) \\
 &= \left( (y_{\pi_1(1),1} - y_{\pi_1(1),2}, y_{\pi_1(1),2} - y_{\pi_1(1),3}), \dots, (y_{\pi_1(m),1} - y_{\pi_1(m),2}, y_{\pi_1(m),2} - y_{\pi_1(m),3}) \right) \\
 &= \left( [y_{\pi_1(1)}]_4, \dots, [y_{\pi_1(m)}]_4 \right)
 \end{aligned}$$

10

【 0 0 4 5 】

[ ラウンド 2  $i = 2$  ]

図 8 は、ラウンド ( $i = 2$ ) の動作を説明するための図である。ラウンド 2 においては、秘密計算サーバ  $P_1$  が受信ノードとなる。また、秘密計算サーバ  $P_2, P_3$  が再分散ノード、秘密計算サーバ  $P_4$  が検証ノードとなる。ラウンド 2 におけるミニシャッフルを次式 [ 数 5 ] のように表すものとする。

【 0 0 4 6 】

【 数 5 】

$$[\vec{y}]^m \leftarrow \text{MiniShuffle}(2, [\vec{x}]^m, [\pi_2]_2)$$

右辺の  $[ ]_2$  は、秘密計算サーバ  $P_2, P_3, P_4$  のみを知る置換  $[ ]_i$  である。

【 0 0 4 7 】

以上の右辺の内容を入力とする出力  $[ \text{vec} \{ y \} ]^m$  は、置換  $[ ]_2$  を用いたミニシャッフルを 1 回行った結果であり、 $[ y_{2(1)} ], \dots, [ y_{2(m)} ]$  のように表される。この出力中の  $y_{2(j)}$  も、前述のように、 $y_{2(j)} = y_{2(j), 1} + y_{2(j), 2} + y_{2(j), 3} (j = 1, \dots, m)$  を満たす形で、秘密計算サーバ  $P_i$  に分散保持される。

【 0 0 4 8 】

次式 [ 数 6 ] に上記したミニシャッフルの手順を示す。

【 0 0 4 9 】

【 数 6 】

20

30

40

50

1.  $P_2, P_3$  and  $P_4$  generate the random values  $r_{j,1}$  and  $r_{j,2}$ .  
 $r_{j,1} = H(\text{vid}_1 || 1 || j, \text{seed}_3)$   
 $r_{j,2} = H(\text{vid}_1 || 2 || j, \text{seed}_3)$
2. We set  $y_{\pi_2(j)} = y_{\pi_2(j),1} + y_{\pi_2(j),2} + y_{\pi_2(j),3}$ .  
 2-1.  $P_2$  computes  $y_{\pi_2(j),2}$  and  $y_{\pi_2(j),3}$  as follows.  
 $y_{\pi_2(j),2} = x_{\pi_2(j),2} + r_{j,1} + r_{j,2}$   
 $y_{\pi_2(j),3} = x_{\pi_2(j),3} - r_{j,2}$   
 2-2.  $P_3$  computes  $y_{\pi_2(j),1}$  and  $y_{\pi_2(j),3}$  as follows.  
 $y_{\pi_2(j),1} = x_{\pi_2(j),1} - r_{j,1}$   
 $y_{\pi_2(j),3} = x_{\pi_2(j),3} - r_{j,2}$   
 2-3.  $P_4$  computes  $y_{\pi_2(j),1} - y_{\pi_2(j),2}$  and  $y_{\pi_2(j),2} - y_{\pi_2(j),3}$  as follows.  
 $y_{\pi_2(j),1} - y_{\pi_2(j),2} = (x_{\pi_2(j),1} - x_{\pi_2(j),2}) - 2r_{j,1} - r_{j,2}$   
 $y_{\pi_2(j),2} - y_{\pi_2(j),3} = (x_{\pi_2(j),2} - x_{\pi_2(j),3}) + r_{j,1} + 2r_{j,2}$
3.  $P_2$  sends  $\vec{m}_{2,2} = \vec{y}_2$  to  $P_1$ .  
 $P_3$  sends  $\vec{m}_{1,3} = \vec{y}_1$  to  $P_1$ .  
 $P_4$  sends  $\vec{m}_4 = \vec{y}_1 - \vec{y}_2$  to  $P_1$ .  
 $\vec{y}_i = (y_{\pi_2(1),i}, \dots, y_{\pi_2(m),i})$
4.  $P_1$  checks whether  $\vec{m}_4 = \vec{m}_{1,3} - \vec{m}_{2,2}$  or not.  
 If it holds, then  $P_1$  outputs continue.  
 If it does not hold, then  $P_1$  outputs abort.

10

20

【 0 0 5 0 】

(ステップ 2 - 1) まず、秘密計算サーバ  $P_2$ 、 $P_3$ 、 $P_4$  は、受信ノードである秘密計算サーバ  $P_1$  が知らないシード  $\text{seed}_3$  を用いて、2つの乱数  $r_{j,1}$ 、 $r_{j,2}$  を生成する。

【 0 0 5 1 】

(ステップ 2 - 2 - 1 ~ 2 - 2 - 3) 次に、秘密計算サーバ  $P_2$ 、 $P_3$ 、 $P_4$  は、互いに連携して、乱数  $r_{j,1}$ 、 $r_{j,2}$  を用いて、 $y_{\pi_2(j)} = y_{\pi_2(j),1} + y_{\pi_2(j),2} + y_{\pi_2(j),3} \pmod{R}$  を満たすような  $y_{\pi_2(j),1}$ 、 $y_{\pi_2(j),2}$ 、 $y_{\pi_2(j),3}$  を計算する。具体的には、 $y_{\pi_2(j),1}$ 、 $y_{\pi_2(j),2}$ 、 $y_{\pi_2(j),3}$  は、以下のように計算される。

30

$$\begin{aligned} y_{\pi_2(j),1} &= x_{\pi_2(j),1} - r_{j,1} \\ y_{\pi_2(j),2} &= x_{\pi_2(j),2} + r_{j,1} + r_{j,2} \\ y_{\pi_2(j),3} &= x_{\pi_2(j),3} - r_{j,2} \end{aligned}$$

【 0 0 5 2 】

さらに、秘密計算サーバ  $P_4$  は、[数 6] に示すように、 $y_{\pi_2(j),1} - y_{\pi_2(j),2}$ 、 $y_{\pi_2(j),2} - y_{\pi_2(j),3}$  を計算する。

【 0 0 5 3 】

(ステップ 2 - 3) 次に、秘密計算サーバ  $P_2$ 、 $P_3$ 、 $P_4$  は、受信ノードである秘密計算サーバ  $P_1$  に対し、計算結果を送信する。具体的には、秘密計算サーバ  $P_2$  は、秘密計算サーバ  $P_1$  に対し、 $\text{vec}\{y_2\}$  を  $\text{vec}\{m_{2,2}\}$  として送信する。秘密計算サーバ  $P_3$  は、秘密計算サーバ  $P_1$  に対し、 $\text{vec}\{y_1\}$  を  $\text{vec}\{m_{1,3}\}$  として送信する。さらに、秘密計算サーバ  $P_4$  は、秘密計算サーバ  $P_1$  に対し、検証データとして、 $\text{vec}\{y_1\} - \text{vec}\{y_2\}$  を  $\text{vec}\{m_4\}$  として送信する。なお、[数 6] に表したとおり、 $\text{vec}\{y_i\}$  は、 $([y_{\pi_2(1),i}], \dots, [y_{\pi_2(m),i}])$  のような  $m$ 次元のベクトルである。

40

【 0 0 5 4 】

(ステップ 2 - 4) 次に、秘密計算サーバ  $P_1$  は、 $\text{vec}\{m_4\} = \text{vec}\{m_{1,3}\} + \text{vec}\{m_{2,2}\}$  が成り立つか否かにより、不正検知を行う。 $\text{vec}\{m_4\} = \text{vec}\{m_{1,3}\} + \text{vec}\{m_{2,2}\}$  が成り立つ場合、正しくミニシャッフルが行われたと判定し、秘密計算サーバ  $P_1$  は、次のラウンドに進む。一方、 $\text{vec}\{m_4\} = \text{vec}\{m_{1,3}\} + \text{vec}\{m_{2,2}\}$  が成り立たない場合、不正検知が行われ、秘密計算サーバ  $P_1$  は、次のラウンドに進む。

50

$\}_3 + \text{vec}\{m_2, 2\}$  が成り立たない場合、秘密計算サーバ  $P_1$  は、不正なシャッフルが行われたと判定し、以降の処理を中断する。

【 0 0 5 5 】

以上のミニシャッフルの結果、秘密計算サーバ  $P_1 \sim P_4$  は、次式 [ 数 7 ] のように、ミニシャッフル後の  $m$  次元ベクトルを保持することになる。

【 0 0 5 6 】

【 数 7 】

$$\begin{aligned}
 P_1: (\overline{m_{1,3}}, \overline{m_{2,2}}) &= (\overline{y_1}, \overline{y_2}) \\
 &= ((y_{\pi_2(1),1}, y_{\pi_2(1),2}), \dots, (y_{\pi_2(m),1}, y_{\pi_2(m),2})) = ([y_{\pi_2(1)}]_1, \dots, [y_{\pi_2(m)}]_1) \\
 P_2: (\overline{y_2}, \overline{y_3}) &= ((y_{\pi_2(1),2}, y_{\pi_2(1),3}), \dots, (y_{\pi_2(m),2}, y_{\pi_2(m),3})) = ([y_{\pi_2(1)}]_2, \dots, [y_{\pi_2(m)}]_2) \\
 P_3: (\overline{y_3}, \overline{y_1}) &= ((y_{\pi_2(1),3}, y_{\pi_2(1),1}), \dots, (y_{\pi_2(m),3}, y_{\pi_2(m),1})) = ([y_{\pi_2(1)}]_3, \dots, [y_{\pi_2(m)}]_3) \\
 P_4: (\overline{y_1} - \overline{y_2}, \overline{y_2} - \overline{y_3}) &= ((y_{\pi_2(1),1} - y_{\pi_2(1),2}, y_{\pi_2(1),2} - y_{\pi_2(1),3}), \dots, (y_{\pi_2(m),1} - y_{\pi_2(m),2}, y_{\pi_2(m),2} - y_{\pi_2(m),3})) \\
 &= ([y_{\pi_2(1)}]_4, \dots, [y_{\pi_2(m)}]_4)
 \end{aligned}$$

10

20

【 0 0 5 7 】

[ ラウンド 3  $i = 3$  ]

図 9 は、ラウンド ( $i = 3$ ) の動作を説明するための図である。ラウンド 3 においては、秘密計算サーバ  $P_2$  が受信ノードとなる。また、秘密計算サーバ  $P_3$ 、 $P_1$  が再分散ノード、秘密計算サーバ  $P_4$  が検証ノードとなる。ラウンド 3 におけるミニシャッフルを次式 [ 数 8 ] のように表すものとする。

【 0 0 5 8 】

【 数 8 】

$$[\hat{y}]^m \leftarrow \text{MiniShuffle}(3, [\hat{x}]^m, [\pi_3]_3)$$

30

右辺の  $[\ ]_3$  は、秘密計算サーバ  $P_1$ 、 $P_3$ 、 $P_4$  のみが知る置換  $[\ ]_i$  である。

【 0 0 5 9 】

以上の右辺の内容を入力とする出力  $[\text{vec}\{y\}]^m$  は、置換  $[\ ]_3$  を用いたミニシャッフルを 1 回行った結果であり、 $[y_{3(1)}], \dots, [y_{3(m)}]$  のように表される。この出力中の  $y_{3(j)}$  も、前述のように、 $y_{3(j)} = y_{3(j),1} + y_{3(j),2} + y_{3(j),3}$  ( $j = 1, \dots, m$ ) を満たす形で、秘密計算サーバ  $P_i$  に分散保持される。

【 0 0 6 0 】

次式 [ 数 9 ] に上記したミニシャッフルの手順を示す。

40

【 0 0 6 1 】

【 数 9 】

50

1.  $P_3, P_4$  and  $P_1$  generate the random values  $r_{j,1}$  and  $r_{j,2}$ .  
 $r_{j,1} = H(\text{vid}_1 || 1 || j, \text{seed}_1)$   
 $r_{j,2} = H(\text{vid}_1 || 2 || j, \text{seed}_1)$
2. We set  $y_{\pi_3(j)} = y_{\pi_3(j),1} + y_{\pi_3(j),2} + y_{\pi_3(j),3}$ .  
 2-1.  $P_3$  computes  $y_{\pi_3(j),1}$  and  $y_{\pi_3(j),3}$  as follows.  
 $y_{\pi_3(j),1} = x_{\pi_3(j),1} - r_{j,1}$   
 $y_{\pi_3(j),3} = x_{\pi_3(j),3} - r_{j,2}$   
 2-2.  $P_1$  computes  $y_{\pi_3(j),1}$  and  $y_{\pi_3(j),2}$  as follows.  
 $y_{\pi_3(j),1} = x_{\pi_3(j),1} - r_{j,1}$   
 $y_{\pi_3(j),2} = x_{\pi_3(j),2} + r_{j,1} + r_{j,2}$   
 2-3.  $P_4$  computes  $y_{\pi_3(j),1} - y_{\pi_3(j),2}$  and  $y_{\pi_3(j),2} - y_{\pi_3(j),3}$  as follows:  
 $y_{\pi_3(j),1} - y_{\pi_3(j),2} = (x_{\pi_3(j),1} - x_{\pi_3(j),2}) - 2r_{j,1} - r_{j,2}$   
 $y_{\pi_3(j),2} - y_{\pi_3(j),3} = (x_{\pi_3(j),2} - x_{\pi_3(j),3}) + r_{j,1} + 2r_{j,2}$
3.  $P_1$  sends  $\overrightarrow{m_{2,1}} = \overrightarrow{y_2}$  to  $P_2$ .  
 $P_3$  sends  $\overrightarrow{m_{3,3}} = \overrightarrow{y_3}$  to  $P_2$ .  
 $P_4$  sends  $\overrightarrow{m_4} = \overrightarrow{y_2} - \overrightarrow{y_3}$  to  $P_2$ .  
 $\overrightarrow{y_i} = (y_{\pi_3(1),i}, \dots, y_{\pi_3(m),i})$
4.  $P_2$  checks whether  $\overrightarrow{m_4} = \overrightarrow{m_{2,1}} - \overrightarrow{m_{3,3}}$  or not.  
 If it holds, then  $P_2$  outputs continue.  
 If it does not hold, then  $P_2$  outputs abort.

10

20

## 【 0 0 6 2 】

(ステップ 3 - 1) まず、秘密計算サーバ  $P_3$ 、 $P_4$ 、 $P_1$  は、受信ノードである秘密計算サーバ  $P_2$  が知らないシード  $\text{seed}_1$  を用いて、2つの乱数  $r_{j,1}$ 、 $r_{j,2}$  を生成する。

## 【 0 0 6 3 】

(ステップ 3 - 2 - 1 ~ 3 - 2 - 3) 次に、秘密計算サーバ  $P_3$ 、 $P_4$ 、 $P_1$  は、互いに連携して、乱数  $r_{j,1}$ 、 $r_{j,2}$  を用いて、 $y_{\pi_3(j)} = y_{\pi_3(j),1} + y_{\pi_3(j),2} + y_{\pi_3(j),3} \pmod{R}$  を満たすような  $y_{\pi_3(j),1}$ 、 $y_{\pi_3(j),2}$ 、 $y_{\pi_3(j),3}$  を計算する。具体的には、 $y_{\pi_3(j),1}$ 、 $y_{\pi_3(j),2}$ 、 $y_{\pi_3(j),3}$  は、以下のように計算される。

30

$$\begin{aligned} y_{\pi_3(j),1} &= x_{\pi_3(j),1} - r_{j,1} \\ y_{\pi_3(j),2} &= x_{\pi_3(j),2} + r_{j,1} + r_{j,2} \\ y_{\pi_3(j),3} &= x_{\pi_3(j),3} - r_{j,2} \end{aligned}$$

## 【 0 0 6 4 】

さらに、秘密計算サーバ  $P_4$  は、[数 9] に示すように、 $y_{\pi_3(j),1} - y_{\pi_3(j),2}$ 、 $y_{\pi_3(j),2} - y_{\pi_3(j),3}$  を計算する。

## 【 0 0 6 5 】

(ステップ 3 - 3) 次に、秘密計算サーバ  $P_3$ 、 $P_4$ 、 $P_1$  は、受信ノードである秘密計算サーバ  $P_2$  に対し、計算結果を送信する。具体的には、秘密計算サーバ  $P_3$  は、秘密計算サーバ  $P_2$  に対し、 $\text{vec}\{y_3\}$  を  $\text{vec}\{m_{3,3}\}$  として送信する。秘密計算サーバ  $P_1$  は、秘密計算サーバ  $P_2$  に対し、 $\text{vec}\{y_2\}$  を  $\text{vec}\{m_{2,1}\}$  として送信する。さらに、秘密計算サーバ  $P_4$  は、検証データとして、秘密計算サーバ  $P_2$  に対し、 $\text{vec}\{y_2\} - \text{vec}\{y_3\}$  を  $\text{vec}\{m_4\}$  として送信する。なお、[数 9] に表したとおり、 $\text{vec}\{y_i\}$  は、 $([y_{\pi_3(1),i}], \dots, [y_{\pi_3(m),i}])$  のような  $m$ 次元のベクトルである。

40

## 【 0 0 6 6 】

(ステップ 3 - 4) 次に、秘密計算サーバ  $P_2$  は、 $\text{vec}\{m_4\} = \text{vec}\{m_{2,1}\} - \text{vec}\{m_{3,3}\}$  が成り立つか否かにより、不正検知を行う。 $\text{vec}\{m_4\} = \text{vec}\{m_{2,1}\} - \text{vec}\{m_{3,3}\}$  が成り立つ場合、正しくミニシャッフルが行われたと判定し、秘密計算サーバ  $P_2$  は、次のラウンドに進む。一方、 $\text{vec}\{m_4\} = \text{vec}\{m_{2,1}$

50

$\{y_1\} - \text{vec}\{m_3, y_3\}$  が成り立たない場合、秘密計算サーバ  $P_2$  は、不正なシャッフルが行われたと判定し、以降の処理を中断する。

【 0 0 6 7 】

以上のミニシャッフルの結果、秘密計算サーバ  $P_1 \sim P_4$  は、次式 [ 数 1 0 ] のように、ミニシャッフル後の  $m$  次元ベクトルを保持することになる。

【 0 0 6 8 】

【 数 1 0 】

$$\begin{aligned}
 P_1: (\overline{y_1}, \overline{y_2}) &= \left( (y_{\pi_3(1),1}, y_{\pi_3(1),2}), \dots, (y_{\pi_3(m),1}, y_{\pi_3(m),2}) \right) = ([y_{\pi_3(1)}]_1, \dots, [y_{\pi_3(m)}]_1) \\
 P_2: (\overline{m_{2,1}}, \overline{m_{3,3}}) & \\
 &= (\overline{y_2}, \overline{y_3}) \\
 &= \left( (y_{\pi_3(1),2}, y_{\pi_3(1),3}), \dots, (y_{\pi_3(m),2}, y_{\pi_3(m),3}) \right) = ([y_{\pi_3(1)}]_2, \dots, [y_{\pi_3(m)}]_2) \\
 P_3: (\overline{y_3}, \overline{y_1}) &= \left( (y_{\pi_3(1),3}, y_{\pi_3(1),1}), \dots, (y_{\pi_3(m),3}, y_{\pi_3(m),1}) \right) = ([y_{\pi_3(1)}]_3, \dots, [y_{\pi_3(m)}]_3) \\
 P_4: (\overline{y_1} - \overline{y_2}, \overline{y_2} - \overline{y_3}) & \\
 &= \left( (y_{\pi_3(1),1} - y_{\pi_3(1),2}, y_{\pi_3(1),2} - y_{\pi_3(1),3}), \dots, (y_{\pi_3(m),1} - y_{\pi_3(m),2}, y_{\pi_3(m),2} - y_{\pi_3(m),3}) \right) \\
 &= ([y_{\pi_3(1)}]_4, \dots, [y_{\pi_3(m)}]_4)
 \end{aligned}$$

10

20

【 0 0 6 9 】

[ ラウンド 4  $i = 4$  ]

図 10 は、ラウンド ( $i = 4$ ) の動作を説明するための図である。ラウンド 4 においては、秘密計算サーバ  $P_3$  が受信ノードとなる。また、秘密計算サーバ  $P_1, P_2$  が再分散ノード、秘密計算サーバ  $P_4$  が検証ノードとなる。ラウンド 4 におけるミニシャッフルを次式 [ 数 1 1 ] のように表すものとする。

【 0 0 7 0 】

【 数 1 1 】

$$[\hat{y}]^m \leftarrow \text{MiniShuffle}(4, [\hat{x}]^m, [\pi_4]_4)$$

30

右辺の  $[\ ]_4$  は、秘密計算サーバ  $P_1, P_2, P_4$  のみが知る置換  $[\ ]_i$  である。

【 0 0 7 1 】

以上の右辺の内容を入力とする出力  $[\text{vec}\{y\}]^m$  は、置換  $[\ ]_4$  を用いたミニシャッフルを 1 回行った結果であり、 $[y_{4(1)}], \dots, [y_{4(m)}]$  のように表される。この出力中の  $y_{4(j)}$  も、前述のように、 $y_{4(j)} = y_{4(j),1} + y_{4(j),2} + y_{4(j),3}$  ( $j = 1, \dots, m$ ) を満たす形で、秘密計算サーバ  $P_i$  に分散保持される。

【 0 0 7 2 】

次式 [ 数 1 2 ] に上記したミニシャッフルの手順を示す。

40

【 0 0 7 3 】

【 数 1 2 】

50

1.  $P_4, P_1$  and  $P_2$  generate the random values  $r_{j,1}$  and  $r_{j,2}$ .  
 $r_{j,1} = H(\text{vid}_1 || 1 || j, \text{seed}_2)$   
 $r_{j,2} = H(\text{vid}_1 || 2 || j, \text{seed}_2)$
2. We set  $y_{\pi_4(j)} = y_{\pi_4(j),1} + y_{\pi_4(j),2} + y_{\pi_4(j),3}$ .  
 2-1.  $P_1$  computes  $y_{\pi_4(j),1}$  and  $y_{\pi_4(j),2}$  as follows.  
 $y_{\pi_4(j),1} = x_{\pi_4(j),1} - r_{j,1}$   
 $y_{\pi_4(j),2} = x_{\pi_4(j),2} + r_{j,1} + r_{j,2}$   
 2-2.  $P_2$  computes  $y_{\pi_4(j),2}$  and  $y_{\pi_4(j),3}$  as follows.  
 $y_{\pi_4(j),2} = x_{\pi_4(j),2} + r_{j,1} + r_{j,2}$   
 $y_{\pi_4(j),3} = x_{\pi_4(j),3} - r_{j,2}$   
 2-3.  $P_4$  computes  $y_{\pi_4(j),1} - y_{\pi_4(j),2}$  and  $y_{\pi_4(j),2} - y_{\pi_4(j),3}$  as follows.  
 $y_{\pi_4(j),1} - y_{\pi_4(j),2} = (x_{\pi_4(j),1} - x_{\pi_4(j),2}) - 2r_{j,1} - r_{j,2}$   
 $y_{\pi_4(j),2} - y_{\pi_4(j),3} = (x_{\pi_4(j),2} - x_{\pi_4(j),3}) + r_{j,1} + 2r_{j,2}$
3.  $P_1$  sends  $\overline{m}_{1,1} = \overline{y}_1$  to  $P_3$ .  
 $P_2$  sends  $\overline{m}_{3,2} = \overline{y}_3$  to  $P_3$ .  
 $P_4$  sends  $\overline{m}_4 = \overline{y}_1 - \overline{y}_3$  to  $P_3$ .  
 $\overline{y}_i = (y_{\pi_4(1),i}, \dots, y_{\pi_4(m),i})$
4.  $P_3$  checks whether  $\overline{m}_4 = \overline{m}_{1,1} - \overline{m}_{3,2}$  or not.  
 If it holds, then  $P_3$  outputs continue.  
 If it does not hold, then  $P_3$  outputs abort.

10

20

【 0 0 7 4 】

(ステップ 4 - 1) まず、秘密計算サーバ  $P_4$ 、 $P_1$ 、 $P_2$  は、受信ノードである秘密計算サーバ  $P_3$  が知らないシード  $\text{seed}_2$  を用いて、2つの乱数  $r_{j,1}$ 、 $r_{j,2}$  を生成する。

【 0 0 7 5 】

(ステップ 4 - 2 - 1 ~ 4 - 2 - 3) 次に、秘密計算サーバ  $P_4$ 、 $P_1$ 、 $P_2$  は、互いに連携して、乱数  $r_{j,1}$ 、 $r_{j,2}$  を用いて、 $y_{\pi_4(j)} = y_{\pi_4(j),1} + y_{\pi_4(j),2} + y_{\pi_4(j),3} \pmod{R}$  を満たすような  $y_{\pi_4(j),1}$ 、 $y_{\pi_4(j),2}$ 、 $y_{\pi_4(j),3}$  を計算する。具体的には、 $y_{\pi_4(j),1}$ 、 $y_{\pi_4(j),2}$ 、 $y_{\pi_4(j),3}$  は、以下のように計算される。

30

$$\begin{aligned} y_{\pi_4(j),1} &= x_{\pi_4(j),1} - r_{j,1} \\ y_{\pi_4(j),2} &= x_{\pi_4(j),2} + r_{j,1} + r_{j,2} \\ y_{\pi_4(j),3} &= x_{\pi_4(j),3} - r_{j,2} \end{aligned}$$

【 0 0 7 6 】

さらに、秘密計算サーバ  $P_4$  は、[数 1 2] に示すように、 $y_{\pi_4(j),1} - y_{\pi_4(j),2}$ 、 $y_{\pi_4(j),2} - y_{\pi_4(j),3}$  を計算する。

【 0 0 7 7 】

(ステップ 4 - 3) 次に、秘密計算サーバ  $P_4$ 、 $P_1$ 、 $P_2$  は、受信ノードである秘密計算サーバ  $P_3$  に対し、計算結果を送信する。具体的には、秘密計算サーバ  $P_1$  は、秘密計算サーバ  $P_3$  に対し、 $\text{vec}\{y_1\}$  を  $\text{vec}\{m_{1,1}\}$  として送信する。秘密計算サーバ  $P_2$  は、秘密計算サーバ  $P_3$  に対し、 $\text{vec}\{y_3\}$  を  $\text{vec}\{m_{3,2}\}$  として送信する。さらに、秘密計算サーバ  $P_4$  は、秘密計算サーバ  $P_3$  に対し、検証データとして、 $\text{vec}\{y_1\} - \text{vec}\{y_3\}$  を  $\text{vec}\{m_4\}$  として送信する。なお、[数 1 2] に表したとおり、 $\text{vec}\{y_i\}$  は、( $[y_{\pi_4(1),i}]$ 、 $\dots$ 、 $[y_{\pi_4(m),i}]$ ) のような  $m$  次元のベクトルである。

40

【 0 0 7 8 】

(ステップ 4 - 4) 次に、秘密計算サーバ  $P_3$  は、 $\text{vec}\{m_4\} = \text{vec}\{m_{1,1}\} - \text{vec}\{m_{3,2}\}$  が成り立つか否かにより、不正検知を行う。 $\text{vec}\{m_4\} = \text{vec}\{m_{1,1}\} - \text{vec}\{m_{3,2}\}$  が成り立つ場合、正しくミニシャッフルが行われたと判定し、処理を終了する。一方、 $\text{vec}\{m_4\} = \text{vec}\{m_{1,1}\} - \text{vec}\{m_{3,2}\}$  が

50

成り立たない場合、秘密計算サーバ  $P_3$  は、不正なシャッフルが行われたと判定し、処理を中断する。

【 0 0 7 9 】

以上のミニシャッフルの結果、秘密計算サーバ  $P_1 \sim P_4$  は、次式 [ 数 1 3 ] のように、ミニシャッフル後の  $m$  次元ベクトルを保持することになる。

【 0 0 8 0 】

【 数 1 3 】

$$P_1: (\vec{y}_1, \vec{y}_2) = \left( (y_{\pi_4(1),1}, y_{\pi_4(1),2}), \dots, (y_{\pi_4(m),1}, y_{\pi_4(m),2}) \right) = ([y_{\pi_4(1)}]_1, \dots, [y_{\pi_4(m)}]_1) \quad 10$$

$$P_2: (\vec{y}_2, \vec{y}_3) = \left( (y_{\pi_4(1),2}, y_{\pi_4(1),3}), \dots, (y_{\pi_4(m),2}, y_{\pi_4(m),3}) \right) = ([y_{\pi_4(1)}]_2, \dots, [y_{\pi_4(m)}]_2)$$

$$P_3: (-\vec{m}_4 + \vec{m}_{1,1}, \vec{m}_{1,1}) \\ = (\vec{y}_3, \vec{y}_1)$$

$$= \left( (y_{\pi_4(1),3}, y_{\pi_4(1),1}), \dots, (y_{\pi_4(m),3}, y_{\pi_4(m),1}) \right) = ([y_{\pi_4(1)}]_3, \dots, [y_{\pi_4(m)}]_3)$$

$$P_4: (\vec{y}_1 - \vec{y}_2, \vec{y}_2 - \vec{y}_3)$$

$$= \left( (y_{\pi_4(1),1} - y_{\pi_4(1),2}, y_{\pi_4(1),2} - y_{\pi_4(1),3}), \dots, (y_{\pi_4(m),1} - y_{\pi_4(m),2}, y_{\pi_4(m),2} - y_{\pi_4(m),3}) \right)$$

$$= ([y_{\pi_4(1)}]_4, \dots, [y_{\pi_4(m)}]_4)$$

20

【 0 0 8 1 】

以上のようなミニシャッフルを行うことで、入力された  $[vec\{x\}]^m$  の置換  $[ ]_i$  を 4 回行うことが可能となる。また、上記各ラウンドで説明したとおり、 $[ ]_i$  による置換は、受信ノードにその置換内容を知られない形態で行われるが、受信ノードは、不正を決定的検出できるようになっている。

【 0 0 8 2 】

上記した 4 ラウンドの置換は、下記 [ 数 1 4 ] のように表すことができる。

【 0 0 8 3 】

【 数 1 4 】

$$1. [\vec{w}]^m \leftarrow MiniShuffle(1, [\vec{v}]^m, [\pi_1]_1)$$

$$2. [\vec{x}]^m \leftarrow MiniShuffle(2, [\vec{w}]^m, [\pi_2]_2)$$

$$3. [\vec{y}]^m \leftarrow MiniShuffle(3, [\vec{x}]^m, [\pi_3]_3)$$

$$4. [\vec{z}]^m \leftarrow MiniShuffle(4, [\vec{y}]^m, [\pi_4]_4)$$

40

【 0 0 8 4 】

また、本実施形態によるシャッフルのコストは、環のサイズが ビットの  $m$  個の要素の通信を 1 ラウンドあたり 3 回行うので、計 4 ラウンドで  $12 \cdot m$  ビットとなる。

【 0 0 8 5 】

[ 第 2 の実施形態 ]

上記した第 1 の実施形態では、4 ラウンドを実行するものとして説明したが、計算の仕

50

方に工夫を加えることで、2ラウンドにて、第1の実施形態と同等のシャッフルを行うことができる。以下、2ラウンドにてシャッフルを行う第2の実施形態について説明する。第2の実施形態は、第1の実施形態と同様の構成で実施可能であるため、以下、その相違点を中心に説明する。

【0086】

[ラウンド1  $i = 1, 2$ ]

図11は、第2の実施形態のラウンド1 ( $i = 1, 2$ )の動作を説明するための図である。図11に示されたとおり、第2の実施形態においては、第1の実施形態のラウンド1とラウンド2の計算とデータの送信が並列に行われる。具体的には、秘密計算サーバP<sub>1</sub>は、秘密計算サーバP<sub>4</sub>に対し、 $vec\{y_1\} - vec\{y_2\}$ を $vec\{m_{1,1}\}$ として送信する。秘密計算サーバP<sub>2</sub>は、秘密計算サーバP<sub>4</sub>に対し、 $vec\{y_2\} - vec\{y_3\}$ を $vec\{m_{2,2}\}$ として送信する。さらに、秘密計算サーバP<sub>3</sub>は、秘密計算サーバP<sub>4</sub>に対し、検証データとして、 $vec\{y_1\} - vec\{y_3\}$ を $vec\{m_3\}$ として送信する。これと並列に、秘密計算サーバP<sub>2</sub>は、秘密計算サーバP<sub>1</sub>に対し、 $vec\{y_2\}$ を $vec\{m_{2,2}\}$ として送信する。秘密計算サーバP<sub>3</sub>は、秘密計算サーバP<sub>1</sub>に対し、 $vec\{y_1\}$ を $vec\{m_{1,3}\}$ として送信する。さらに、秘密計算サーバP<sub>4</sub>は、秘密計算サーバP<sub>1</sub>に対し、検証データとして、 $vec\{y_1\} - vec\{y_2\}$ を $vec\{m_4\}$ として送信する。

10

【0087】

ここで、秘密計算サーバP<sub>2</sub>は、 $vec\{m_{2,2}\}$ と $vec\{m_{2,2}\}$ を送信することになるが、[数3]のとおり、前者は、 $vec\{y_2\} - vec\{y_3\}$ であり、[数6]のとおり、後者は、 $vec\{y_2\}$ であるので、並列して計算することができる。同様に、秘密計算サーバP<sub>3</sub>は、 $vec\{m_3\}$ と $vec\{m_{1,3}\}$ を送信することになるが、[数3]のとおり、前者は、 $vec\{y_1\} - vec\{y_2\}$ であり、後者は、 $vec\{y_1\}$ であるので、並列して計算することができる。

20

【0088】

図12は、第2の実施形態のラウンド2 ( $i = 3, 4$ )の動作を説明するための図である。図12に示されたとおり、第2の実施形態においては、第1の実施形態のラウンド3とラウンド4の計算とデータの送信が並列に行われる。具体的には、秘密計算サーバP<sub>1</sub>は、秘密計算サーバP<sub>2</sub>に対し、 $vec\{y_2\}$ を $vec\{m_{2,1}\}$ として送信する。秘密計算サーバP<sub>3</sub>は、秘密計算サーバP<sub>2</sub>に対し、 $vec\{y_3\}$ を $vec\{m_{3,3}\}$ として送信する。さらに、秘密計算サーバP<sub>4</sub>は、秘密計算サーバP<sub>2</sub>に対し、検証データとして、 $vec\{y_2\} - vec\{y_3\}$ を $vec\{m_4\}$ として送信する。これと並列に、秘密計算サーバP<sub>1</sub>は、秘密計算サーバP<sub>3</sub>に対し、 $vec\{y_1\}$ を $vec\{m_{1,1}\}$ として送信する。秘密計算サーバP<sub>2</sub>は、秘密計算サーバP<sub>3</sub>に対し、 $vec\{y_3\}$ を $vec\{m_{3,2}\}$ として送信する。さらに、秘密計算サーバP<sub>4</sub>は、秘密計算サーバP<sub>3</sub>に対し、検証データとして、 $vec\{y_1\} - vec\{y_3\}$ を $vec\{m_4\}$ として送信する。

30

【0089】

ここで、秘密計算サーバP<sub>1</sub>は、 $vec\{m_{2,1}\}$ と $vec\{m_{1,1}\}$ を送信することになるが、[数9]のとおり、前者は、 $vec\{y_2\}$ であり、[数12]のとおり、後者は、 $vec\{y_1\}$ であるので、並列して計算することができる。同様に、秘密計算サーバP<sub>4</sub>は、 $vec\{m_4\}$ と $vec\{m_4\}$ を送信することになるが、[数9]のとおり、前者は、 $vec\{y_2\} - vec\{y_3\}$ であり、後者は、 $vec\{y_1\} - vec\{y_3\}$ であるので、並列して計算することができる。もちろん、本実施形態においても、受信ノードが検証データを用いて、不正検知を行うことができる。

40

【0090】

さらに、本実施形態では、前述のとおりラウンド数を2に削減することができる。本実施形態において、ハッシュ値の通信コストを無視すると、通信コストは、 $8m$ に削減することができる。

50

【 0 0 9 1 】

[ 第 3 の実施形態 ]

続いて、上記した第 1 の実施形態の検証ノード及び受信ノードにおける検証の方法に変更を加えた第 3 の実施形態について説明する。第 3 の実施形態は、第 1 の実施形態と同様の構成で実施可能であるため、以下、その相違点を中心に説明する。

【 0 0 9 2 】

第 3 の実施形態においては、ミニシャッフルの後半手順 3 . 以降が次式 [ 数 1 5 ] の手順に置き換えられる。

【 0 0 9 3 】

【 数 1 5 】

3.  $P_1$  sends  $\overrightarrow{m_{1,1}} = \overrightarrow{y_1} - \overrightarrow{y_2}$  to  $P_4$ .  
 $P_2$  sends  $\overrightarrow{m_{2,2}} = \overrightarrow{y_2} - \overrightarrow{y_3}$  to  $P_4$ .  
 $P_3$  sends  $v_3$  to  $P_4$ .  
 $P_4$  computes  $v'$ .  
 $\overrightarrow{y_i} = (y_{\pi_1(1),i}, \dots, y_{\pi_1(m),i})$   
 $\overrightarrow{m_{1,1}} - \overrightarrow{m_{2,2}} = (m'_1, \dots, m'_m)$ ,  $\overrightarrow{m_3} = \overrightarrow{y_1} - \overrightarrow{y_3} = (m_{3,1}, \dots, m_{3,m})$ としたとき,  
 $\alpha_j = H(\text{vid}_1 || j, \text{seed}_3)$ ,  $v' = \sum_{j=1}^m \alpha_j m'_j$ ,  $v_3 = \sum_{j=1}^m \alpha_j m_{3,j}$ とする。
4.  $P_4$  checks whether  $v_3 = v'$  or not.  
 If it holds, then  $P_4$  outputs *continue*.  
 If it does not hold, then  $P_4$  outputs *abort*.

10

20

【 0 0 9 4 】

具体的には、秘密計算サーバ  $P_1$  は、秘密計算サーバ  $P_4$  に対し、 $\text{vec}\{y_1\} - \text{vec}\{y_2\}$  を  $\text{vec}\{m_{1,1}\}$  として送信する。秘密計算サーバ  $P_2$  は、秘密計算サーバ  $P_4$  に対し、 $\text{vec}\{y_2\} - \text{vec}\{y_3\}$  を  $\text{vec}\{m_{2,2}\}$  として送信する。ここまでの動作は第 1 の実施形態と同様である。第 3 の実施形態では、秘密計算サーバ  $P_3$  は、検証用データ  $v_3$  を計算し、秘密計算サーバ  $P_4$  に送信する（図 1 3 参照）。一方、秘密計算サーバ  $P_4$  は、検証用データ  $v'$  を計算する。

30

【 0 0 9 5 】

上記検証用データ  $v_3$ ,  $v'$  は次式 [ 数 1 6 ] に規定される。

【 0 0 9 6 】

【 数 1 6 】

$$\overrightarrow{m_{1,1}} - \overrightarrow{m_{2,2}} = (m'_1, \dots, m'_m), \overrightarrow{m_3} = \overrightarrow{y_1} - \overrightarrow{y_3} = (m_{3,1}, \dots, m_{3,m})$$

としたとき,

$$\alpha_j = H(\text{vid}_1 || j, \text{seed}_3), \quad v' = \sum_{j=1}^m \alpha_j m'_j, \quad v_3 = \sum_{j=1}^m \alpha_j m_{3,j}$$

40

【 0 0 9 7 】

そして、秘密計算サーバ  $P_4$  は、 $v_3 = v'$  が成り立つか否かにより、不正検知を行う。  
 $v_3 = v'$  が成り立つ場合、正しくミニシャッフルが行われたと判定し、秘密計算サーバ  $P_4$  は、次のラウンドに進む。一方、 $v_3 = v'$  が成り立たない場合、秘密計算サーバ  $P_4$  は、不正なシャッフルが行われたと判定し、以降の処理を中断する。なお、上記検証にあたり、確率的にしか行えないので、 $v_3$  の生成及び  $v_3$  の生成・送信はセキュリティパラメータ  $t$  回だけ繰り返すことが好ましい（但し、 $v_3$  の送信は 1 ラウンドにまとめて良い）。

【 0 0 9 8 】

ラウンド 2 以降も [ 数 6 ] [ 数 9 ] [ 数 1 2 ] の手順 3 . 以降は、それぞれ次の [ 数 1 7 ]、[ 数 1 8 ]、[ 数 1 9 ] の手順に置き換えられる。

50

【 0 0 9 9 】

【 数 1 7 】

3.  $P_2$  sends  $\overrightarrow{m_{2,2}} = \overrightarrow{y_2}$  to  $P_1$ .  
 $P_3$  sends  $\overrightarrow{m_{1,3}} = \overrightarrow{y_1}$  to  $P_1$ .  
 $P_4$  sends  $v_4$  to  $P_1$ .  
 $P_1$  computes  $v'$ .  
 $\overrightarrow{y_i} = (y_{\pi_1(1),i}, \dots, y_{\pi_1(m),i})$   
 $\overrightarrow{m_{2,2}} - \overrightarrow{m_{1,3}} = (m'_1, \dots, m'_m)$ ,  $\overrightarrow{m_4} = (m_{4,1}, \dots, m_{4,m})$ としたとき,  
 $\alpha_j = H(\text{vid}_1 || j, \text{seed}_1)$ ,  $v' = \sum_{j=1}^m \alpha_j m'_j$ ,  $v_4 = \sum_{j=1}^m \alpha_j m_{4,j}$ とする.
4.  $P_1$  checks whether  $v_4 = v'$  or not.  
If it holds, then  $P_1$  outputs *continue*.  
If it does not hold, then  $P_1$  outputs *abort*.

10

【 0 1 0 0 】

【 数 1 8 】

3.  $P_1$  sends  $\overrightarrow{m_{2,1}} = \overrightarrow{y_2}$  to  $P_2$ .  
 $P_3$  sends  $\overrightarrow{m_{3,3}} = \overrightarrow{y_3}$  to  $P_2$ .  
 $P_4$  sends  $v_4$  to  $P_2$ .  
 $P_2$  computes  $v'$ .  
 $\overrightarrow{y_i} = (y_{\pi_1(1),i}, \dots, y_{\pi_1(m),i})$   
 $\overrightarrow{m_{2,1}} - \overrightarrow{m_{3,3}} = (m'_1, \dots, m'_m)$ ,  $\overrightarrow{m_4} = (m_{4,1}, \dots, m_{4,m})$ としたとき,  
 $\alpha_j = H(\text{vid}_1 || j, \text{seed}_2)$ ,  $v' = \sum_{j=1}^m \alpha_j m'_j$ ,  $v_4 = \sum_{j=1}^m \alpha_j m_{4,j}$ とする.
4.  $P_2$  checks whether  $v_4 = v'$  or not.  
If it holds, then  $P_2$  outputs *continue*.  
If it does not hold, then  $P_2$  outputs *abort*.

20

30

【 0 1 0 1 】

【 数 1 9 】

3.  $P_1$  sends  $\overrightarrow{m_{1,1}} = \overrightarrow{y_1}$  to  $P_3$ .  
 $P_2$  sends  $\overrightarrow{m_{3,2}} = \overrightarrow{y_3}$  to  $P_3$ .  
 $P_4$  sends  $v_4$  to  $P_3$ .  
 $P_3$  computes  $v'$ .  
 $\overrightarrow{y_i} = (y_{\pi_1(1),i}, \dots, y_{\pi_1(m),i})$   
 $\overrightarrow{m_{1,1}} - \overrightarrow{m_{3,2}} = (m'_1, \dots, m'_m)$ ,  $\overrightarrow{m_4} = (m_{4,1}, \dots, m_{4,m})$ としたとき,  
 $\alpha_j = H(\text{vid}_1 || j, \text{seed}_3)$ ,  $v' = \sum_{j=1}^m \alpha_j m'_j$ ,  $v_4 = \sum_{j=1}^m \alpha_j m_{4,j}$ とする.
4.  $P_3$  checks whether  $v_4 = v'$  or not.  
If it holds, then  $P_3$  outputs *continue*.  
If it does not hold, then  $P_3$  outputs *abort*.

40

【 0 1 0 2 】

ラウンド 2 以降も同様であり、秘密計算サーバ  $P_4$  は、検証用データ  $v_4$  を計算し、受

50

信ノードとなる秘密計算サーバ P<sub>i</sub> に送信する（図 14 ~ 図 16 参照）。一方、秘密計算サーバ P<sub>4</sub> は、検証用データ ' を計算する。また、ラウンド 2 以降も、上記 ' 及び<sub>4</sub>を用いた検証は、確率的にしか行えないので、' の生成、<sub>4</sub> の生成・送信はセキュリティパラメータ 回だけ繰り返すことが好ましい（但し、<sub>4</sub> の送信は 1 ラウンドにまとめて良い）。

【 0 1 0 3 】

上記検証用データ <sub>4</sub> , ' は次式 [ 数 2 0 ] ~ [ 数 2 2 ] に規定される。

【 0 1 0 4 】

【 数 2 0 】

$$\vec{m}_{1,1} - \vec{m}_{2,2} = (m'_1, \dots, m'_m), \vec{m}_3 = \vec{y}_1 - \vec{y}_3 = (m_{3,1}, \dots, m_{3,m})$$

10

としたとき、

$$\alpha_j = H(vid_1 || j, seed_3), \quad v' = \sum_{j=1}^m \alpha_j m'_j, \quad v_3 = \sum_{j=1}^m \alpha_j m_{3,j}$$

【 0 1 0 5 】

【 数 2 1 】

$$\vec{m}_{2,2} - \vec{m}_{1,3} = (m'_1, \dots, m'_m), \vec{m}_4 = (m_{4,1}, \dots, m_{4,m})$$

としたとき、

$$\alpha_j = H(vid_1 || j, seed_1), \quad v' = \sum_{j=1}^m \alpha_j m'_j, \quad v_4 = \sum_{j=1}^m \alpha_j m_{4,j}$$

20

【 0 1 0 6 】

【 数 2 2 】

$$\vec{m}_{1,1} - \vec{m}_{2,2} = (m'_1, \dots, m'_m), \vec{m}_3 = \vec{y}_1 - \vec{y}_3 = (m_{3,1}, \dots, m_{3,m})$$

としたとき、

$$\alpha_j = H(vid_1 || j, seed_3), \quad v' = \sum_{j=1}^m \alpha_j m'_j, \quad v_3 = \sum_{j=1}^m \alpha_j m_{3,j}$$

【 0 1 0 7 】

以上、第 3 の実施形態によれば、ハッシュ関数を用いずに検証（不正検知）を行うことが可能となる。

30

【 0 1 0 8 】

以上、本発明の各実施形態を説明したが、本発明は、上記した実施形態に限定されるものではなく、本発明の基本的技術的思想を逸脱しない範囲で、更なる変形・置換・調整を加えることができる。例えば、各図面に示したネットワーク構成、各要素の構成、データの表現形態は、本発明の理解を助けるための一例であり、これらの図面に示した構成に限定されるものではない。

【 0 1 0 9 】

また、上記した第 1 から第 3 の実施形態に示した手順は、秘密計算ノード乃至秘密計算サーバ P<sub>i</sub> として機能するコンピュータ（図 17 の 9000）に、これらの装置としての機能を実現させるプログラムにより実現可能である。このようなコンピュータは、図 17 の CPU（Central Processing Unit）9010、通信インターフェース 9020、メモリ 9030、補助記憶装置 9040 を備える構成に例示される。すなわち、図 17 の CPU 9010 にて、乱数生成プログラムや置換処理プログラムを実行し、その補助記憶装置 9040 等に保持された各計算パラメータの更新処理を実施させればよい。

40

【 0 1 1 0 】

即ち、上記した第 1 から第 3 の実施形態に示した秘密計算サーバ P<sub>i</sub> の各部（処理手段、機能）は、これらの装置に搭載されたプロセッサに、そのハードウェアを用いて、上記した各処理を実行させるコンピュータプログラムにより実現することができる。

50

【 0 1 1 1 】

最後に、本発明の好ましい形態を要約する。

[ 第 1 の 形 態 ]

( 上記第 1 の視点によるシャッフルシステム参照 )

[ 第 2 の 形 態 ]

上記したシャッフルシステムにおいて、前記受信ノードは、前記検証ノードから受信したデータを用いた前記ミニシャッフルの正当性を確認した結果、前記ミニシャッフルの正当性を確認できない場合、処理を中止する構成を採ることができる。

[ 第 3 の 形 態 ]

上記したシャッフルシステムにおいて、

前記 4 台の秘密計算ノードは、

3 つのシード (  $seed_1, seed_2, seed_4$  ) と秘密情報  $x$  のシェア (  $x_1, x_2$  ) とを秘密分散して保持する第 1 の秘密計算ノードと、

3 つのシード (  $seed_2, seed_3, seed_4$  ) と秘密情報  $x$  のシェア (  $x_2, x_3$  ) とを秘密分散して保持する第 2 の秘密計算ノードと、

3 つのシード (  $seed_3, seed_1, seed_4$  ) と秘密情報  $x$  のシェア (  $x_3, x_1$  ) とを秘密分散して保持する第 3 の秘密計算ノードと、

3 つのシード (  $seed_1, seed_2, seed_3$  ) と秘密情報  $x$  のシェア (  $x_1 - x_2, x_2 - x_3$  ) とを秘密分散して保持する第 4 の秘密計算ノードと、

前記再分散ノード及び前記検証ノードは、前記受信ノードの知らないシードを用いて、2 つの乱数を生成し、

前記再分散ノードは、前記ミニシャッフルの結果として、前記シェアに前記乱数の組み合わせを適用した結果を前記受信ノードに送信し、

前記検証ノードは、前記 2 台の再分散ノードが前記受信ノードに送信した結果の和又は差を計算して、前記受信ノードに送信する構成を採ることができる。

[ 第 4 の 形 態 ]

上記したシャッフルシステムにおいて、

前記第 4 の秘密計算ノードと、第 1 の秘密計算ノードとを受信ノードとするミニシャッフルと、を並列に実行し、

前記第 2 の秘密計算ノードと、第 3 の秘密計算ノードとを受信ノードとするミニシャッフルと、を並列に実行する構成を採ることができる。

[ 第 5 の 形 態 ]

( 上記第 2 の視点によるシャッフル方法参照 )

[ 第 6 の 形 態 ]

( 上記第 3 の視点によるプログラム参照 )

なお、上記第 5 ~ 第 6 の形態は、第 1 の形態と同様に、第 2 ~ 第 4 の形態に展開することが可能である。

【 0 1 1 2 】

なお、上記の特許文献および非特許文献の各開示は、本書に引用をもって繰り込み記載されているものとし、必要に応じて本発明の基礎ないし一部として用いることができるものとする。本発明の全開示 ( 請求の範囲を含む ) の枠内において、さらにその基本的技術思想に基づいて、実施形態ないし実施例の変更・調整が可能である。また、本発明の開示の枠内において種々の開示要素 ( 各請求項の各要素、各実施形態ないし実施例の各要素、各図面の各要素等を含む ) の多様な組み合わせ、ないし選択 ( 部分的削除を含む ) が可能である。すなわち、本発明は、請求の範囲を含む全開示、技術的思想にしたがって当業者であればなし得るであろう各種変形、修正を含むことは勿論である。特に、本書に記載した数値範囲については、当該範囲内に含まれる任意の数値ないし小範囲が、別段の記載のない場合でも具体的に記載されているものと解釈されるべきである。さらに、上記引用した文献の各開示事項は、必要に応じ、本発明の趣旨に則り、本発明の開示の一部として、その一部又は全部を、本書の記載事項と組み合わせて用いることも、本願の開示事項に含

10

20

30

40

50

まれるものと、みなされる。

【産業上の利用可能性】

【0113】

本発明は、シャッフルシステムのほか、そのシャッフル機能を用いたソート処理を行う秘密分散システムに適用することができる。

【符号の説明】

【0114】

10 - 1 ~ 10 - 4 秘密計算ノード

101 置換生成部

102 置換適用部

103 算術演算部

104 不正検知部

105 乱数計算部

106 ハッシュ値計算部

107 シード記憶部

108 シェア値記憶部

9000 コンピュータ

9010 CPU

9020 通信インターフェース

9030 メモリ

9040 補助記憶装置

P1 ~ P4 秘密計算サーバ

10

20

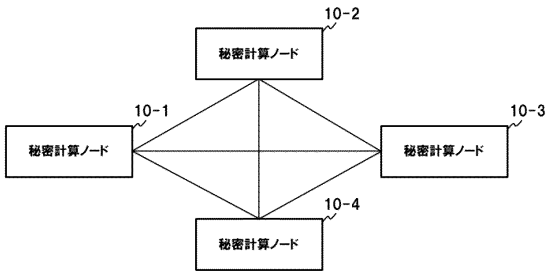
30

40

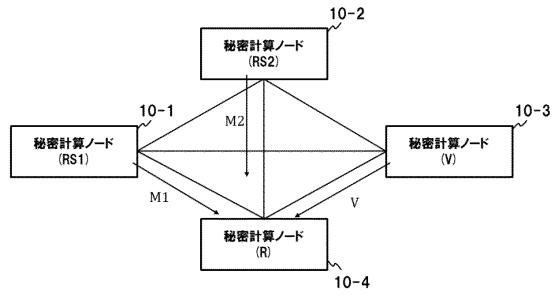
50

【図面】

【図 1】

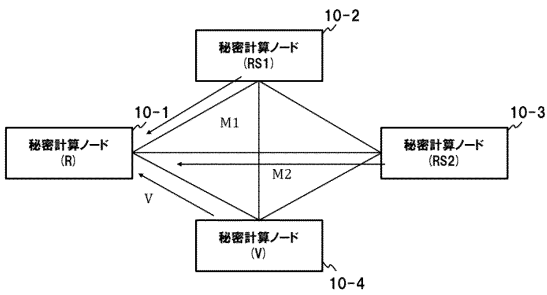


【図 2】

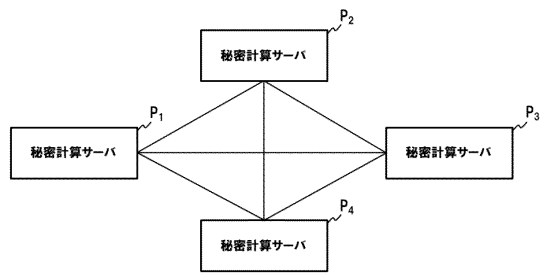


10

【図 3】

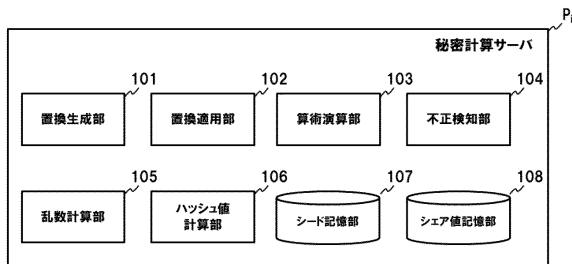


【図 4】

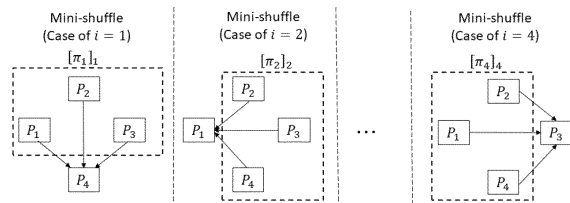


20

【図 5】



【図 6】

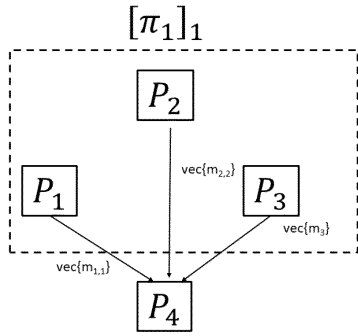


30

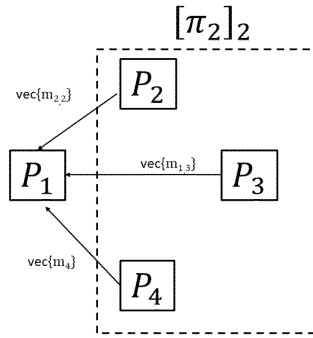
40

50

【 図 7 】

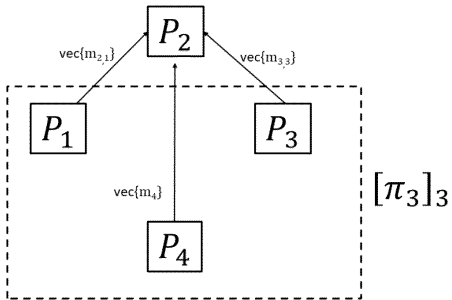


【 図 8 】

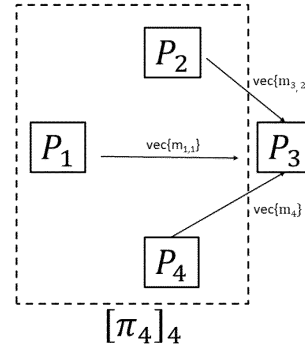


10

【 図 9 】

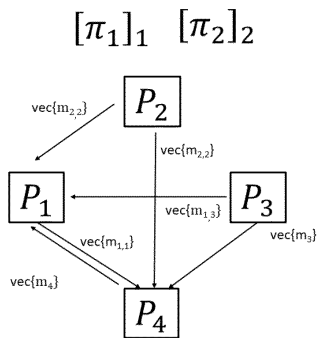


【 図 10 】

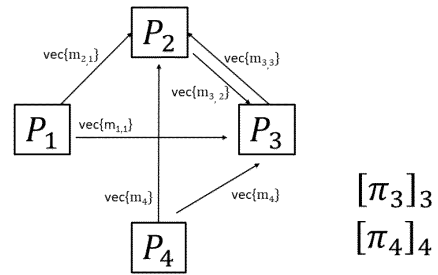


20

【 図 11 】



【 図 12 】

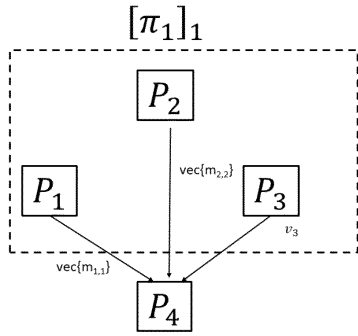


30

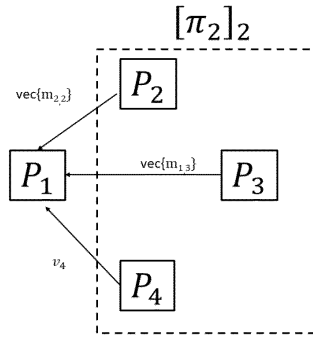
40

50

【図 13】

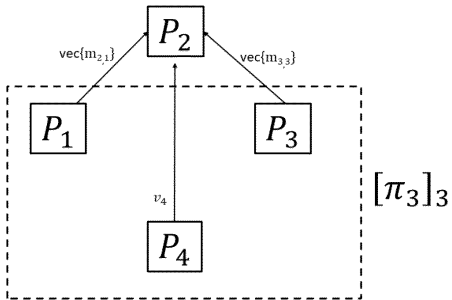


【図 14】

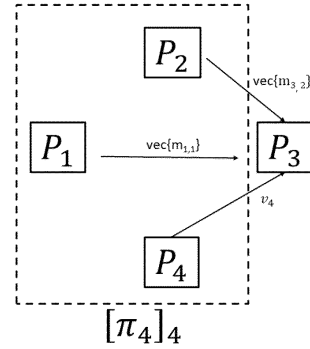


10

【図 15】

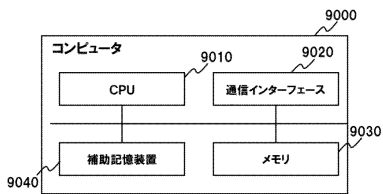


【図 16】



20

【図 17】



30

40

50

## フロントページの続き

- (56)参考文献 特開2017-129913(JP,A)  
国際公開第2012/046692(WO,A1)  
米国特許出願公開第2003/0046547(US,A1)  
国際公開第2015/107952(WO,A1)  
辻下 健太郎 ほか, パスワード付秘密分散法の秘匿検索への応用, 電子情報通信学会技術  
研究報告, 日本, 一般社団法人電子情報通信学会, 2017年05月18日, Vol. 117 No. 55, p.  
99-106  
千田 浩司 ほか, 効率的な3パーティ秘匿関数計算の提案とその運用モデルの考察, 情報  
処理学会研究報告 コンピュータセキュリティ(CSEC), 日本, 社団法人情報処理学会  
, 2010年04月15日, p. 1-7
- (58)調査した分野 (Int.Cl., DB名)  
G09C 1/00  
H04L 9/32  
JSTPlus/JMEDPlus/JST7580(JDreamIII)  
IEEE Xplore